

空気泡スルームの水理に関する数値解析

京都大学工学部 正員 岩佐 義朗 中部大学工学部 正員 松尾 直規
靈島 建設 正員 大鼓地敏夫 ○京都大学大学院 学生員 木村 玄

1.はじめに；海水池の富栄養化対策の一手段として挙げられている曝露循環法（エアリーショニ法）における空気泡スルームの水理学的挙動を用ひ方とするニズムとして、本研究ではエアリーショニに伴う流体空気泡を含む気液混相流としてとらえ、気泡体積及びその変化を考慮に入れた数値解析手法を開発し、従来の理論的・実験的研究及び数値解析的研究と比較・検討して、その適用性、有効性を明らかにすることを試みる。

2.数値解析法；上述の気液混相流を最も簡単な混相流として、個々の気泡の運動を逐次に伴う局所的な流体運動を取り扱うことは現時点では不可能であり、ここでは多数の気泡群を含む流体の平均的挙動を対象として、いくつかの単純化された条件のもとで現象のモデル化を行うことにする。

(1)基本的考え方：混相流の密度、体積を ρ 、 V 、空気泡・周囲液体のそれらを、それぞれ ρ_a 、 V_a 、 P_a 、 T_a として、 $\rho \cdot V = \rho_a \cdot V_a + P_a \cdot T_a$ (2.1.1) $V = V_a + T_a$ (2.1.2)

$$\text{上り}, \frac{V_a}{V} = S \text{ とおくと}, \rho = P_a(1-S) + P_a \cdot S = P_1 + P_2 \quad (2.1.3)$$

ここで P_2 を一種の拡散量とみなして取り扱う。さらに、状態方程式を用いて、近似的に等温変化を仮定するならば、 P_2 は S と V に比例するところである。

(2)気泡の運動に関する取り扱い：空気泡と水との相互作用については、単純に気泡を半径 d の球形とみなして、鉛直上方に上升するものと考えれば、この運動は次式で示される。

$$\rho_a \frac{d^3}{dt^2} \frac{d}{dt}(V_{23} \cdot p) = \frac{d^3}{dt^2}(P_a - P_1)g - \frac{1}{2} \rho_a \frac{d^3}{dt^2} \frac{d}{dt}(V_{23} \cdot p) - \frac{1}{8} \rho_a \pi d^2 C_D V_{23} \cdot p \quad (2.2.1)$$

ここで C_D は形狀係数、 $V_{23} \cdot p$ は気泡の $S \cdot p$ 速度である。

(3)円筒座標による基礎式の展開：気液混相流の平均的運動の把握という目的より、軸対称の流れを仮定して、円筒座標系に上昇するものと考えれば、この運動は次式で示される。

$$\frac{\partial}{\partial t} + \frac{1}{r} \frac{\partial}{\partial r} (P_1 \partial_r V_1) + \frac{1}{r^2} (P_1 \partial_z V_2) = 0 \quad (2.3.1)$$

(b)周囲液体の運動方程式

$$(4) \text{前} \frac{\partial}{\partial t} (P_1 \partial_r) + \frac{1}{r} \frac{\partial}{\partial r} (P_1 \partial_r V_1) + \frac{1}{r^2} (P_1 \partial_z V_2) = - \frac{\partial P}{\partial r} + \frac{1}{r^2} (P_1 E_{rr} \frac{\partial V_1}{\partial r}) + \frac{1}{r^2} (P_1 E_{zz} \frac{\partial V_2}{\partial z}) \quad (2.3.2)$$

$$(5) \text{後} \frac{\partial}{\partial t} (P_1 \partial_z) + \frac{1}{r} \frac{\partial}{\partial r} (P_1 \partial_z V_2) + \frac{1}{r^2} (P_1 \partial_r V_1) = - P_1 g - \frac{\partial P}{\partial z} + \frac{1}{r^2} (P_1 E_{rr} \frac{\partial V_1}{\partial z}) + \frac{1}{r^2} (P_1 E_{zz} \frac{\partial V_2}{\partial r}) + F_2 \quad (2.3.3)$$

$$(6) 水量収支則 $\frac{\partial}{\partial t} (P_1) + \frac{1}{r} \frac{\partial}{\partial r} (P_1 \partial_r V_1) + \frac{1}{r^2} (P_1 \partial_z V_2) = \frac{1}{r^2} (P_1 E_{rr} \frac{\partial V_1}{\partial r}) + \frac{1}{r^2} (P_1 E_{zz} \frac{\partial V_2}{\partial z}) \quad (2.3.4)$$$

$$(d) 気泡運動方程式 $\frac{\partial}{\partial t} (V_{23} \cdot p) + \frac{1}{r} \frac{\partial}{\partial r} (V_{23} \cdot p \partial_r V_1) + \frac{1}{r^2} (V_{23} \cdot p \partial_z V_2) = \frac{1}{r^2} (V_{23} \cdot p E_{rr} \frac{\partial V_1}{\partial r}) + \frac{1}{r^2} (V_{23} \cdot p E_{zz} \frac{\partial V_2}{\partial z}) \quad (2.3.5)$$$

$V_{23} \cdot p$ は r, z 方向の速度成分、 E_{rr}, E_{zz}, E_{rz} は慣性係数、また E_{rr}, E_{zz} は速度拡散係数、 E_{rz} は気泡拡散係数である。なお、各物理量は平均流に限ってのみである。さらに、 F_2 は (2.1.3) 式に従って周囲液体が気泡から受けける鉛直方向の力を表す。また、 $S = 1 - P_2/P_1$ と表される。また、 $S = 1 - P_2/P_1$ である。なお、気泡は水面においてのみ消失するものである。

3. 数値解析結果及び考察；上述の数学モデルによる数値解析は、従来の研究と同様に

Staggered-Schemeにより差分式に直し、Explicit法で計算した。

(1)気泡のSip速度: (3.2.1)式、状態方程式及びエネルギー保存則を重ねて数値解析的に v_z を求める、その結果を放出口からの距離に比例して直線を近似した。(Fig. 3-1 参照)

(2)運動粘性係数及び各種拡散係数: 各種係数の値を以下のように仮定する。まず、運動粘性係数について。

$$\epsilon_0 = \epsilon_{tr} = \epsilon_{tz} = \epsilon_{rz} = \alpha(z' + C_3) |U_{xz}| \quad (3.2.1)$$

$$\text{又は } \epsilon_0 = \epsilon_{tr} = \epsilon_{tz} = \epsilon_{rz} = \alpha(z' + C_3) |U_z| \quad (3.2.2)$$

U_{xz} は中心 6.7m の流速値、 U_z はブレーム内各点における鉛直流速成分、 z' は放出口からの距離である。ブレーム域($U_z > 0$ となる範囲とした)外については、 $\epsilon_0 = C_4(U_z^2 + U_{xz}^2)^{1/2}$ (3.2.3)で ϵ_0 を与えることになる。気泡・温度拡散係数は次式の通りである。

$$\epsilon_t = \epsilon_{tr} = \epsilon_{tz} = \lambda_1 \epsilon_0 \quad (3.2.4), \quad \epsilon_T = \epsilon_{tr} = \epsilon_{tz} = 1.346 \epsilon_0 \quad (3.2.5)$$

(3)計算結果とその考察: 計算条件はFig. 3-1に示すもの以外は以下のようとした。計算領域はKobusの実験値と比較するため半径4m、水深4.7mの円柱状領域とし、メリッシュ分割は、鉛直方向に $\Delta z = 10\text{cm}$ の等間隔、半径方向には $r = 45\text{cm}$ までは $\Delta r = 5\text{cm}$ の等間隔、その後は直線的に Δr を増加させた。水温 15°C を一定、流速は静水状態とした。計算は鉛直流速がほぼ定常に達したことをもととして行なった。Fig. 3-1 Fig. 3-2に示すように、計算結果はどの場合によらず大きく左右されることがわかる。Fig. 3-2より [Initial] regionでは(3.2.2)式、[Established region]では(3.2.1)式を用いた方がKobusの実験値に一致する傾向にあることが確認できる。そこで ϵ_0 を(3.2.1)式で与えたケース3と従来の気泡体積を無視したモデルで ϵ_0 を同様に与えたケース4をFig. 3-3に示す。Fig. 3-3よりケース3ではケース1とケース2の中間的な値となり、ケース4ではケース1と一致するが、その値は小さくなっている。この違いは、気泡体積との変化を無視することによって、流体の鉛直方向への運動量変化に対する影響が過小に評価された結果であると考えられる。

4. 終わりに; 気泡体積を無視した場合でも、空気取り率 β が無視しうる程度の大ささであれば、实用上大きな問題は生じないであつたが、曝露位置が深くなると同時に、気泡体積が過小評価されることがある。しかし、いまのモデルも運動粘性係数及び各種拡散係数の値によらず計算結果は大きく左右される。これらの値を正しく評価するには今後、より詳細な実験及び理論的面からの研究が必要である。

(参考文献) 1) 堀口; 空気-水相流による水流改善に関する実験的研究、29回海岸工学講演会論文集、1982。

2) 若佐、松尾; エアーミキシングによる流れの数値解析、京大院災害年報 27号、1984

3) Kobus, E.H.; Analysis of the flow induced by air-bubble systems; Proc. 11th conference on coastal Eng., 1968

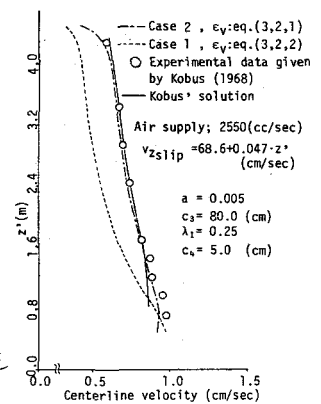


Fig. 3-1 鉛直軸上流速分布

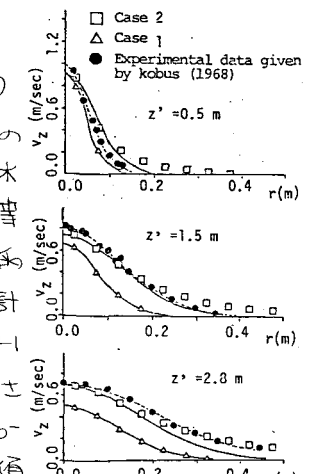


Fig. 3-2 鉛直流速分布

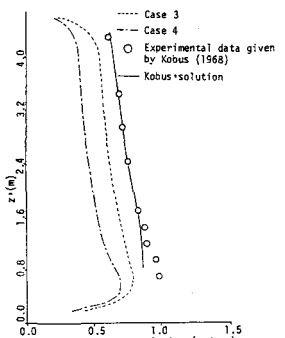


Fig. 3-3 鉛直軸上流速分布